

ЭЛЕКТРИЧЕСКИЕ И МАГНИТНЫЕ СВОЙСТВА

УДК 537.633

ЭЛЕКТРОННЫЙ СПИНОВЫЙ ТОК И СПИН-ЗАВИСИМЫЕ ГАЛЬВАНОМАГНИТНЫЕ ЯВЛЕНИЯ В МЕТАЛЛАХ

© 2020 г. В. В. Устинов^{a, b, *}, И. А. Ясюевич^a

^aИнститут физики металлов им. М.Н. Михеева УрО РАН, ул. С. Ковалевской, 18, Екатеринбург, 620108 Россия

^bИнститут естественных наук и математики УрФУ, ул. Куйбышева, 48, Екатеринбург, 620002 Россия

*e-mail: ustinov@imp.uran.ru

Поступила в редакцию 16.09.2019 г.

После доработки 03.10.2019 г.

Принята к публикации 10.10.2019 г.

На основе квантового кинетического уравнения получена система связанных кинетических уравнений для функции распределения электронной плотности и функции распределения спиновой плотности. Интегралы столкновений в кинетических уравнениях записаны для произвольного рассеивающего потенциала с учетом спин-орбитального взаимодействия электронов проводимости с рассеивающими дефектами. Применительно к спиновой системе электронов проводимости последовательно реализована идея “сокращенного” описания транспортных явлений. Описание системы на языке функций распределения, зависящих от квазимпульса электронов, сводится к описанию на языке макроскопических средних величин: плотности электронов, спиновой плотности, потока электронов и спинового тока.

Ключевые слова: электрон, спин, спиновый ток, спиновая релаксация, электросопротивление, магнитосопротивление, эффект Холла, спиновый эффект Холла

DOI: 10.31857/S0015323020030079

ВВЕДЕНИЕ

Известные гальваномагнитные явления в металлах и полупроводниках – магниторезистивный эффект и эффект Холла – обусловлены влиянием магнитного поля \mathbf{B} на движение электронов проводимости, вызываемое электрическим полем \mathbf{E} [1]. Влияние магнитного поля на переносимый электронами электрический ток плотности \mathbf{j} обусловлено силой Лоренца $e\mathbf{E} + \frac{e}{c}[\mathbf{v} \times \mathbf{B}]$, которая действует на движущийся со скоростью \mathbf{v} электрон, несущий на себе электрический заряд e . Исторически первая работа по наблюдению влияния магнитного поля на электрический ток была опубликована Эдвином Холлом еще в 1879 г. [2]. Эффект Холла проявляется как появление в образце электрического поля, перпендикулярного направлению пропускаемого через образец тока, при помещении образца в поперечное магнитное поле. Для реального образца конечных размеров эффект Холла приводит к появлению вблизи граней образца областей накопления электрического заряда, которые и являются источником поперечного электрического поля.

Помимо электрического заряда, электроны несут на себе собственный механический момент, спин и соответствующий ему магнитный момент.

Спин-орбитальное взаимодействие электронов с кристаллической решеткой и ее дефектами ведет к тому, что электроны с разным значением проекции спина, участвующие в создании электрического тока, будут отклоняться в разные стороны перпендикулярно направлению плотности тока \mathbf{j} . Это явление, получившее название спинового эффекта Холла, было теоретически предсказано Дьяконовым и Перелем в 1971 г. [3, 4]. В отличие от классического эффекта Холла [2], спиновый эффект Холла [3, 4] возникает при протекании тока в отсутствие какого-либо внешнего магнитного поля и проявляется в появлении вблизи граничной области аккумуляции неравновесной спиновой плотности. Наличие у электронов проводимости спина ведет естественным образом и к спиновой зависимости классического эффекта Холла. В работе [5] описан спин-зависимый классический эффект Холла без учета спин-орбитального взаимодействия – возбуждение электрическим током перпендикулярного ему спинового потока в геометрии классического эффекта Холла, когда поперечным к току магнитным полем создана спиновая поляризация Паули.

Спин-орбитальное взаимодействие в условиях протекания электрического тока в поперечном магнитном поле приводит к появлению спиновой

аккумуляции вблизи граней образца, зависящей от величины магнитного поля. Как было показано в работе [6], приложенное магнитное поле уменьшает величину спиновой поляризации в области поверхностной аккумуляции, что в результате приводит к эффекту положительного магнитосопротивления. Этот эффект дает возможность изучать явление спиновой аккумуляции с помощью гальваномагнитных измерений.

Во всех вышеупомянутых гальваномагнитных эффектах магнитное поле \mathbf{B} по умолчанию предполагается однородным. Между тем неоднородность магнитного поля может играть в спин-транспортных явлениях существенную роль. Отвлечемся (в дидактических целях) от квантовой природы спина и представим электрон как классическую частицу, обладающую магнитным моментом $\boldsymbol{\mu}$. Тогда при рассмотрении движения электрона в неоднородном магнитном поле мы должны принять во внимание действующую на него силу $\nabla(\boldsymbol{\mu} \cdot \mathbf{B})$, равную с обратным знаком пространственному градиенту от энергии взаимодействия магнитного момента $\boldsymbol{\mu}$ с полем \mathbf{B} .

Здесь уместно будет упомянуть работу Штерна и Герлаха [7], в которой именно особенности движения частиц – носителей спина в неоднородном магнитном поле были использованы для доказательства квантовой природы спина.

В выполненных к настоящему времени работах по спин-зависимым гальваномагнитным явлениям вопросы учета неоднородностей магнитного поля рассматривали лишь фрагментарно. Поэтому сегодня актуальной задачей является построение квантовой теории спин-транспортных явлений, пригодной для описания спиновых токов и гальваномагнитных явлений в металлах и полупроводниках в неоднородных внешних полях с учетом спин-орбитальных взаимодействий.

Вопросы описания спиновых транспортных явлений в проводящих твердых телах составляют предмет многочисленных исследований в области спинтроники. Исследование эффектов, в которых понятие “спиновый ток” является ключевым, является одним из “горячих” направлений современной физики конденсированного состояния вещества. Здесь уместно будет сослаться на монографию [8], 25 глав которой дают полное представление о прогрессе в изучении эффектов, связанных со спиновыми токами, а также на коллективную монографию [9], в которой описан широкий круг спин-зависимых оптических, электрических и магнитных свойств полупроводников.

Главная задача настоящей работы – сформулировать основные уравнения для описания электрических и спиновых токов, протекающих в системе, помещенной в неоднородное магнитное поле. В случае, когда речь идет об электронах проводимости парамагнитных металлов и полупроводников, действующие на электрон силы могут создаваться

неоднородным внешним магнитным полем. Если же нас интересует электронный спиновый транспорт в магнитоупорядоченных проводниках, в которых реализуется неоднородное магнитное состояние, то под неоднородным магнитным полем, действующим на спин электрона, можно понимать эффективное обменное поле, усредненное по элементарному объему магнетика и пропорциональное неоднородной спонтанной намагниченности вещества. Задача последнего раздела – дать описание спинового и электрического транспорта в киральных гелимагнетиках, где эффекты неоднородного магнитного состояния могут наблюдаться экспериментально.

ОСНОВНЫЕ ОПРЕДЕЛЕНИЯ. СПИНОВЫЙ ТОК

Последовательное описание транспорта заряда и спина в электронной системе в металлах и полупроводниках может быть реализовано с помощью аппарата квантового кинетического уравнения для квантовой функции распределения $\hat{f}(\mathbf{r}, \mathbf{p}, t)$, зависящей от координаты \mathbf{r} , электронного квазиимпульса \mathbf{p} и времени t , но являющейся оператором в спиновом пространстве. Будучи квантовым обобщением хорошо известного и повсеместно применяемого уравнения Больцмана на случай наличия у носителей заряда спинового момента, квантовое кинетическое уравнение для $\hat{f}(\mathbf{r}, \mathbf{p}, t)$ является, возможно, наиболее простым и эффективным теоретическим инструментом для изучения транспорта заряда и спина в условиях, когда орбитальное движение электронов может быть рассмотрено на языке классической механики.

Итак, наша задача – описание кинетических явлений в системе электронов проводимости твердого тела, которые являются носителями электрического заряда e , а также спинового и связанного с ним магнитного момента $\boldsymbol{\mu}$. Величина магнитного момента $\boldsymbol{\mu}$ определяется значением g -фактора электрона соотношением $\boldsymbol{\mu} = g\boldsymbol{\mu}_B/2$, где $\boldsymbol{\mu}_B$ – магнетон Бора. Результатом решения поставленной задачи должны стать материальные уравнения – соотношения, связывающие потоки электрического заряда и спинового (магнитного) момента электронов с индуцирующими их внешними электрическим и магнитным полями.

Пусть ϵ_p – энергетический спектр электронов проводимости кристалла. Закон зависимости энергии ϵ_p от квазиимпульса \mathbf{p} определяет скорость электрона $\mathbf{v} = (\partial/\partial\mathbf{p})\epsilon_p$. Пусть $\hat{\boldsymbol{\mu}}$ – оператор магнитного момента электрона. Ниже мы будем использовать известное представление оператора $\hat{\boldsymbol{\mu}}$ через спиновые матрицы Паули $\hat{\boldsymbol{\sigma}}$:

$$\hat{\boldsymbol{\mu}} = -\mu_B \hat{\boldsymbol{\sigma}}. \quad (1)$$

Поскольку квантовая функция распределения $\hat{f}(\mathbf{r}, \mathbf{p}, t)$ представляет собой оператор в спиновом пространстве, который может быть представлен как матрица по спиновым переменным, без каких-либо ограничений общности можно представить \hat{f} в виде

$$\hat{f}(\mathbf{r}, \mathbf{p}, t) = \frac{1}{2} n(\mathbf{r}, \mathbf{p}, t) + \frac{1}{2} \mathbf{s}(\mathbf{r}, \mathbf{p}, t) \cdot \hat{\boldsymbol{\sigma}}. \quad (2)$$

Вновь введенные функции $n(\mathbf{r}, \mathbf{p}, t)$ и $\mathbf{s}(\mathbf{r}, \mathbf{p}, t)$ определяются следующими соотношениями:

$$n(\mathbf{r}, \mathbf{p}, t) = \text{Tr} \hat{f}(\mathbf{r}, \mathbf{p}, t), \quad (3)$$

$$\mathbf{s}(\mathbf{r}, \mathbf{p}, t) = \text{Tr} \hat{\boldsymbol{\sigma}} \hat{f}(\mathbf{r}, \mathbf{p}, t). \quad (4)$$

Здесь и ниже $\text{Tr} \hat{M}$ – операция взятия следа (шпура) матрицы \hat{M} .

Функция $n(\mathbf{r}, \mathbf{p}, t)$ имеет смысл функции распределения электронной плотности в импульсном пространстве. Суммируя $n(\mathbf{r}, \mathbf{p}, t)$ по всем возможным \mathbf{p} , получаем величину $N(\mathbf{r}, t)$ – плотность числа электронов в данной точке пространства в заданный момент времени:

$$N(\mathbf{r}, t) = \sum_{\mathbf{p}} n(\mathbf{r}, \mathbf{p}, t). \quad (5)$$

Просуммировав по всем \mathbf{p} произведение $\mathbf{v} n(\mathbf{r}, \mathbf{p}, t)$, получаем величину $\mathbf{I}(\mathbf{r}, t)$ – плотность потока электронов в точке пространства \mathbf{r} в момент времени t :

$$\mathbf{I}(\mathbf{r}, t) = \sum_{\mathbf{p}} \mathbf{v} n(\mathbf{r}, \mathbf{p}, t). \quad (6)$$

Произведение $eN(\mathbf{r}, t)$ дает нам плотность электрического заряда, тогда как $e\mathbf{I}(\mathbf{r}, t)$ суть плотность электрического тока $\mathbf{j}(\mathbf{r}, t)$.

Введенная определением (4) функция $\mathbf{s}(\mathbf{r}, \mathbf{p}, t)$ по аналогии с $n(\mathbf{r}, \mathbf{p}, t)$ может быть названа функцией распределения спиновой плотности. Суммируя $\mathbf{s}(\mathbf{r}, \mathbf{p}, t)$ по всем возможным \mathbf{p} , получаем величину $\mathbf{S}(\mathbf{r}, t)$, которую ниже будем называть спиновой плотностью:

$$\mathbf{S}(\mathbf{r}, t) = \sum_{\mathbf{p}} \mathbf{s}(\mathbf{r}, \mathbf{p}, t). \quad (7)$$

Просуммировав по \mathbf{p} тензорное произведение векторов $\mathbf{v} \otimes \mathbf{s}(\mathbf{r}, \mathbf{p}, t)$, получаем величину $\mathbf{J}(\mathbf{r}, t)$, которую мы будем называть плотностью спинового тока:

$$\mathbf{J}(\mathbf{r}, t) = \sum_{\mathbf{p}} \mathbf{v} \otimes \mathbf{s}(\mathbf{r}, \mathbf{p}, t). \quad (8)$$

Здесь необходимо сделать одно важное замечание. При записи определения спинового тока (8)

мы использования знак \otimes для обозначения математической операции тензорного произведения векторов. В результате выполнения операции тензорного произведения векторов \mathbf{v} и \mathbf{s} получается тензор – диада $\mathbf{v} \otimes \mathbf{s}$, который в матричном представлении имеет компоненты $(\mathbf{v} \otimes \mathbf{s})_{ij} = v_i s_j$. Для обозначения тензоров мы будем использовать “наклонный жирный” шрифт, тогда как векторы будут обозначаться “прямым жирным” шрифтом. Таким образом, введенная нами величина $\mathbf{J}(\mathbf{r}, t)$ – тензор плотности спинового тока. Произведение $\frac{\hbar}{2} \mathbf{S}(\mathbf{r}, t)$ дает нам вектор плотности спинового момента электронов, тогда как $\frac{\hbar}{2} \mathbf{J}(\mathbf{r}, t)$ суть тензор плотности потока спинового момента электронов. Заметим здесь также, что введенная нами величина спиновой плотности $\mathbf{S}(\mathbf{r}, t)$ имеет ту же самую размерность, что и электронная плотность $N(\mathbf{r}, t)$. Аналогично, одинаковую размерность имеют плотность потока электронов $\mathbf{I}(\mathbf{r}, t)$ и плотность спинового тока $\mathbf{J}(\mathbf{r}, t)$.

Тензор спинового тока в конкретном базисе ортогональных единичных векторов $\{\mathbf{e}_i\}$, может быть представлен как $\mathbf{J} = J_{ij} \mathbf{e}_i \otimes \mathbf{e}_j$, где J_{ij} – координаты тензора спинового тока. Иногда вместо тензора \mathbf{J} удобно использовать его проекции на орты $\{\mathbf{e}_i\}$. Этими проекциями могут быть либо три вектора $\mathbf{P}_i = \mathbf{e}_i \cdot \mathbf{J}$, либо тройка векторов $\mathbf{Q}_i = \mathbf{J} \cdot \mathbf{e}_i$. В матричном представлении $\mathbf{P}_i = J_{ij} \mathbf{e}_j$ и $\mathbf{Q}_j = J_{ij} \mathbf{e}_i$. Последние равенства показывают, что векторы \mathbf{P}_i – это вектор-строки, а векторы \mathbf{Q}_j – это вектор-столбцы матрицы J_{ij} , представляющей тензор \mathbf{J} . Вектор \mathbf{P}_i по способу определения может быть назван поляризацией спинового тока, текущего в направлении i . Вектор \mathbf{Q}_i характеризует направление, в котором течет компонента спиновой плотности S_i , и может быть назван потоком i -той компоненты спиновой плотности. Таким образом, получаем два альтернативных представления тензора спинового тока:

$$\mathbf{J} = \begin{bmatrix} J_{11} & J_{12} & J_{13} \\ J_{21} & J_{22} & J_{23} \\ J_{31} & J_{32} & J_{33} \end{bmatrix} = \begin{bmatrix} \mathbf{P}_1 \\ \mathbf{P}_2 \\ \mathbf{P}_3 \end{bmatrix},$$

$$\mathbf{J} = \begin{bmatrix} J_{11} & J_{12} & J_{13} \\ J_{21} & J_{22} & J_{23} \\ J_{31} & J_{32} & J_{33} \end{bmatrix} = [\mathbf{Q}_1 \quad \mathbf{Q}_2 \quad \mathbf{Q}_3].$$

Иллюстрация представления произвольного тензора спинового тока \mathbf{J} на языке векторов \mathbf{P}_i и \mathbf{Q}_i дана на рис. 1. На рис. 2 приведены \mathbf{P} - и \mathbf{Q} -

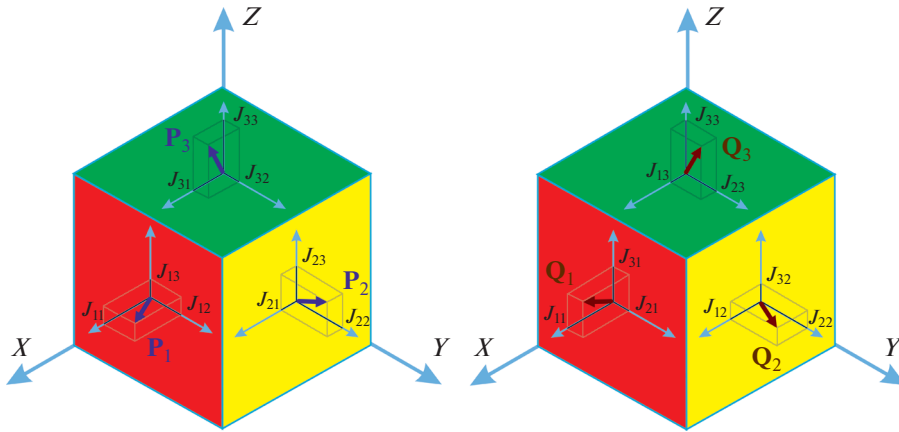


Рис. 1. Иллюстрация представления произвольного тензора спинового тока с компонентами J_{ij} на языке векторов поляризации \mathbf{P}_i спинового тока и векторов потоков компонент спиновой плотности \mathbf{Q}_j .

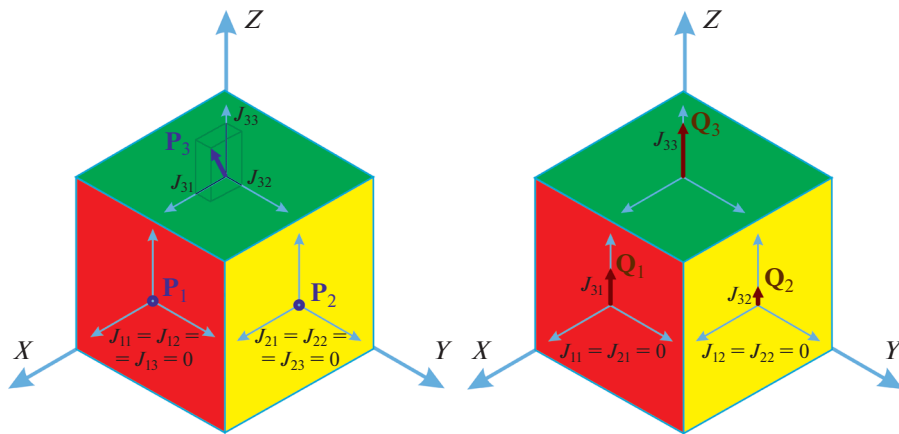


Рис. 2. Иллюстрация P- и Q-представлений тензора спинового тока, у которого отличны от нуля только компоненты одной z-строки ($i = 3$).

представления тензора спинового тока \mathbf{J} для случая, когда отличны от нуля только три компонента одной z-строки матрицы J_{ij} . В этом случае среди всех векторов \mathbf{P}_i отличен от нуля только один вектор поляризации тока \mathbf{P}_3 , который может иметь произвольное направление, а все три вектора \mathbf{Q}_i направлены вдоль одной оси z.

КВАНТОВОЕ КИНЕТИЧЕСКОЕ УРАВНЕНИЕ

Квантовое кинетическое уравнение для $\hat{f}(\mathbf{r}, \mathbf{p}, t)$ может быть получено последовательным образом из уравнения для одночастичного статистического оператора $\hat{\rho}$, удовлетворяющего уравнению фон Неймана

$$\frac{\partial \hat{\rho}}{\partial t} + \frac{i}{\hbar} [\hat{H}_0 + \hat{H}_E + \hat{H}_B + \hat{V}, \hat{\rho}] = 0, \tag{9}$$

в котором \hat{H}_0 – оператор кинетической и потенциальной энергии электрона в поле идеальной кристаллической решетки, $\hat{H}_E = -e\mathbf{E} \cdot \mathbf{r}$ и $\hat{H}_B = \mu\mathbf{B} \cdot \hat{\boldsymbol{\sigma}}$ – операторы взаимодействия с электрическим полем напряженности $\mathbf{E}(\mathbf{r}, t)$ и магнитным полем индукции $\mathbf{B}(\mathbf{r}, t)$ соответственно. Оператор $\hat{V} = U - \frac{\hbar}{4m^2c^2} \hat{\boldsymbol{\sigma}} \cdot \left[\mathbf{p} \times \frac{\partial U}{\partial \mathbf{r}} \right]$ описывает спин-орбитальное взаимодействие электрона с рассеивателями – всевозможными дефектами кристаллической решетки, создающими потенциал U . Собственные значения гамильтониана \hat{H}_0 – суть энергетический спектр электрона ε_p .

Квантовое кинетическое уравнение для $\hat{f}(\mathbf{r}, \mathbf{p}, t)$ может быть получено из (9) путем записи уравнения для оператора $\langle \hat{\rho} \rangle$, где скобки $\langle \dots \rangle$ означают опера-

цию усреднения по всем возможным конфигурациям рассеивающего потенциала \hat{V} . Последующий переход к квазиклассическому пределу в уравнении для $\langle \hat{\rho} \rangle$ при описании только орбитального движения электронов и дает интересующее нас квантовое кинетическое уравнение для $\hat{f}(\mathbf{r}, \mathbf{p}, t)$. Не имея возможности описать в данном сообщении детали этой довольно громоздкой процедуры, мы приведем здесь только конечное уравнение:

$$\begin{aligned} & \frac{\partial \hat{f}}{\partial t} + \mathbf{v} \cdot \frac{\partial \hat{f}}{\partial \mathbf{r}} + \left(e\mathbf{E} + \frac{e}{c}[\mathbf{v} \times \mathbf{B}] \right) \cdot \frac{\partial \hat{f}}{\partial \mathbf{p}} - \\ & - \mu \frac{\partial (\hat{\boldsymbol{\sigma}} \cdot \mathbf{B})}{\partial \mathbf{r}} \cdot \frac{\partial \hat{f}}{\partial \mathbf{p}} + \mu \frac{i}{\hbar} [\hat{\boldsymbol{\sigma}}, \hat{f}] \cdot \mathbf{B} + \hat{R} = 0. \end{aligned} \quad (10)$$

В уравнении (10) сумма второго и третьего члена – это квазиклассический предел квантовой скобки Пуассона $\frac{i}{\hbar} [\hat{H}_0 + \hat{H}_E, \langle \hat{\rho} \rangle]$, тогда как сумма четвертого и пятого членов – это квазиклассический предел от $\frac{i}{\hbar} [\hat{H}_B, \langle \hat{\rho} \rangle]$. Последний член \hat{R} – это квазиклассический предел усредненной по конфигурациям рассеивающего потенциала квантовой скобки Пуассона $\langle \frac{i}{\hbar} [\hat{V}, \hat{\rho}] \rangle$. Этот член описывает релаксацию квантовой функции распределения \hat{f} к своему локально-равновесному значению \hat{f}_L и выражается через отклонение $\delta \hat{f} = \hat{f} - \hat{f}_L$.

Заметим, что сумма четвертого и пятого членов в уравнении (10) может быть записана как скалярное произведение векторного оператора $\hat{\mathbf{F}} = e\mathbf{E} + \frac{e}{c}[\mathbf{v} \times \mathbf{B}] - \mu \frac{\partial}{\partial \mathbf{r}} (\hat{\boldsymbol{\sigma}} \cdot \mathbf{B})$ и производной $\frac{\partial \hat{f}}{\partial \mathbf{p}}$. Последнее слагаемое в выражении для оператора $\hat{\mathbf{F}}$ можно трактовать как квантовую добавку к классической силе Лоренца $e\mathbf{E} + \frac{e}{c}[\mathbf{v} \times \mathbf{B}]$, действующей на электрон в неоднородном поле в силу наличия у него спина.

Уравнение (10) для \hat{f} с точностью до использованных обозначений совпадает с уравнением, приведенным в работах [10, 11], в которых интеграл столкновений \hat{R} был записан феноменологически в приближении времени релаксации. В отличие от этих работ, мы в следующем разделе приведем строгий результат квантовомеханического рассматривания интеграла столкновений, справедливый для любого рассеивающего потенциала \hat{V} . Отметим, что продуктивность идеи использования аппарата квантового кинетического уравнения для построения теории спин-транспортных явлений была продемонстрирована в работах [12, 13] по выводу граничных условий для функций распределения, описывающих спино-

вые процессы рассеяния электронов на дефектах поверхности металла.

Возьмем след от уравнения (10) и выполним ту же операцию после умножения уравнения (10) на $\hat{\boldsymbol{\sigma}}$, в результате получим систему связанных кинетических уравнений для функций распределения электронной плотности и спиновой плотности электронов:

$$\begin{aligned} & \frac{\partial}{\partial t} n + \mathbf{v} \cdot \frac{\partial}{\partial \mathbf{r}} n + \left(e\mathbf{E} + \frac{e}{c}[\mathbf{v} \times \mathbf{B}] \right) \cdot \frac{\partial}{\partial \mathbf{p}} n - \\ & - \mu \frac{\partial B_i}{\partial \mathbf{r}} \cdot \frac{\partial s_i}{\partial \mathbf{p}} + R = 0, \end{aligned} \quad (11)$$

$$\begin{aligned} & \frac{\partial}{\partial t} \mathbf{s} + \mathbf{v} \cdot \frac{\partial}{\partial \mathbf{r}} \mathbf{s} + \left(e\mathbf{E} + \frac{e}{c}[\mathbf{v} \times \mathbf{B}] \right) \cdot \frac{\partial}{\partial \mathbf{p}} \mathbf{s} + \\ & + \frac{2\mu}{\hbar} [\mathbf{s} \times \mathbf{B}] - \mu \frac{\partial}{\partial \mathbf{p}} n \cdot \frac{\partial}{\partial \mathbf{r}} \mathbf{B} + \mathbf{R} = 0, \end{aligned} \quad (12)$$

где введены обозначения $R = \text{Tr} \hat{R}$, $\mathbf{R} = \text{Tr} \hat{\boldsymbol{\sigma}} \hat{R}$.

Кинетические уравнения (11), (12) необходимо использовать при описании транспортных свойств систем, в которых длина свободного пробега электронов проводимости сравнима или превышает характерный масштаб изменения полей \mathbf{B} и \mathbf{E} , а также характерные линейные размеры образца. В этом случае из уравнений (11), (12) после их решения будет получена существенно нелокальная связь потоков и полей. В обратном предельном случае, когда длина свободного пробега электронов является наименьшим параметром размерности длины, можно существенно упростить решение задачи, если перейти от описания системы на языке функций распределения к описанию на языке плотностей и потоков. Пренебрегая в этом случае пространственной дисперсией, исходя из уравнений (11), (12) для функций распределения, ниже мы получим замкнутую систему уравнений для плотностей $N(\mathbf{r}, t)$, $\mathbf{S}(\mathbf{r}, t)$ и потоков $\mathbf{I}(\mathbf{r}, t)$, $\mathbf{J}(\mathbf{r}, t)$.

ПЕРЕХОД К “СОКРАЩЕННОМУ” ОПИСАНИЮ СПИНОВОЙ КИНЕТИКИ

В отсутствие внешних полей система находится в состоянии полного термодинамического равновесия и описывается статистическим оператором $\hat{f}_0 = F(\epsilon_p - \zeta_0)$, где $F(\epsilon) = 1/(\exp(\epsilon/k_B T) + 1)$ – функция Ферми, ζ_0 – химический потенциал, определяемый из условия $\sum_p 2F(\epsilon_p - \zeta_0) = N_0$, где N_0 – равновесная плотность электронов.

Определим мгновенное локально-равновесное значение квантовой функции распределения системы, помещенной в магнитное поле $\mathbf{B}(\mathbf{r}, t)$, как оператор $\hat{f}_L = F(\epsilon_p + \mu \mathbf{B} \cdot \hat{\boldsymbol{\sigma}} - \zeta_L)$. Здесь ζ_L – локальный химический потенциал, определяемый

из условия $\sum_{\mathbf{p}} \text{Tr} F(\varepsilon_{\mathbf{p}} + \mu \mathbf{B} \cdot \hat{\boldsymbol{\sigma}} - \zeta_{\mathbf{L}}) = N$. Считая энергию спинового расщепления $\mu \mathbf{B}$ и изменения химпотенциала $\zeta_{\mathbf{L}} - \zeta_0$ малыми по сравнению с энергией Ферми, запишем $\hat{f}_{\mathbf{L}}$ в линейном по внешним полям приближении как

$$\hat{f}_{\mathbf{L}} = F(\varepsilon_{\mathbf{p}} - \zeta_0) + F'(\varepsilon_{\mathbf{p}} - \zeta_0)(\mu \hat{\boldsymbol{\sigma}} \cdot \mathbf{B} - (\zeta_{\mathbf{L}} - \zeta_0)), \quad (13)$$

где $F'(\varepsilon)$ – производная функции $F(\varepsilon)$. Соответствующая этому состоянию спиновая функция распределения $\mathbf{s}_{\mathbf{L}}(\mathbf{r}, \mathbf{p}, t) = 2F'(\varepsilon_{\mathbf{p}} - \zeta_0)\mu \mathbf{B}$, тогда как спиновая плотность $\mathbf{S}_{\mathbf{L}}(\mathbf{r}, t) = 2\sum_{\mathbf{p}} F'(\varepsilon_{\mathbf{p}} - \zeta_0)\mu \mathbf{B}$. Локально равновесная спиновая функция распределения $\mathbf{s}_{\mathbf{L}}(\mathbf{r}, \mathbf{p}, t)$ может быть выражена через спиновую плотность $\mathbf{S}_{\mathbf{L}}$ соотношением

$$\mathbf{s}_{\mathbf{L}}(\mathbf{r}, \mathbf{p}, t) = F'(\varepsilon_{\mathbf{p}} - \zeta_0) \left[\sum_{\mathbf{p}} F'(\varepsilon_{\mathbf{p}} - \zeta_0) \right]^{-1} \mathbf{S}_{\mathbf{L}}(\mathbf{r}, t). \quad (14)$$

Локальное изменение химпотенциала $\zeta_{\mathbf{L}} - \zeta_0$ определяет отклонение локально-равновесной функции распределения числа частиц $n_{\mathbf{L}}(\mathbf{r}, \mathbf{p}, t)$ от равновесного значения $n_0 = 2F(\varepsilon_{\mathbf{p}} - \zeta_0)$ как $n_{\mathbf{L}} - n_0 = -2F'(\varepsilon_{\mathbf{p}} - \zeta_0)(\zeta_{\mathbf{L}} - \zeta_0)$. Это отклонение выражается через отклонение локальной плотности электронов N от N_0 соотношением

$$n_{\mathbf{L}}(\mathbf{r}, \mathbf{p}, t) - n_0 = F'(\varepsilon_{\mathbf{p}} - \zeta_0) \left[\sum_{\mathbf{p}} F'(\varepsilon_{\mathbf{p}} - \zeta_0) \right]^{-1} [N(\mathbf{r}, t) - N_0]. \quad (15)$$

Переход от описания системы на языке функций распределения к “сокращенному” описанию на языке плотностей и потоков подразумевает возможность непосредственного выражения функций распределения через плотности и потоки.

“Сокращенное” представление $\hat{f}_{\mathbf{R}}$ оператора \hat{f} мы определим формальным операторным уравнением $\hat{f}_{\mathbf{R}} = F(\varepsilon_{\mathbf{p}-\hat{\boldsymbol{\pi}}} + \mu \mathbf{B} \cdot \hat{\boldsymbol{\sigma}} - \hat{\zeta})$, в котором $\hat{\zeta}$ описывает локальные изменения энергии электронов из-за изменения плотностей $N(\mathbf{r}, t)$, $\mathbf{S}(\mathbf{r}, t)$, а вектор $\hat{\boldsymbol{\pi}}$ определяет локальный сдвиг распределения квантовой функции распределения в импульсном пространстве, обусловленный потоками заряда и спина $\mathbf{I}(\mathbf{r}, t)$, $\mathbf{J}(\mathbf{r}, t)$. В линейном по внешним полям приближении для $\hat{f}_{\mathbf{R}}$ получаем уравнение

$$\hat{f}_{\mathbf{R}} = F(\varepsilon_{\mathbf{p}} - \zeta_0) + F'(\varepsilon_{\mathbf{p}} - \zeta_0) \times (\mu \hat{\boldsymbol{\sigma}} \cdot \mathbf{B} - (\hat{\zeta} - \zeta_0) - \mathbf{v} \cdot \hat{\boldsymbol{\pi}}). \quad (16)$$

Химпотенциал ζ и векторный оператор $\hat{\boldsymbol{\pi}}$ определяются из уравнений

$$N = \sum_{\mathbf{p}} \text{Tr} \hat{f}_{\mathbf{R}}, \quad \mathbf{S} = \sum_{\mathbf{p}} \text{Tr} \hat{\boldsymbol{\sigma}} \hat{f}_{\mathbf{R}}, \quad (17)$$

$$\mathbf{I} = \sum_{\mathbf{p}} \text{Tr} \mathbf{v} \hat{f}_{\mathbf{R}}, \quad \mathbf{J} = \sum_{\mathbf{p}} \text{Tr} \mathbf{v} \otimes \hat{\boldsymbol{\sigma}} \hat{f}_{\mathbf{R}}.$$

После нахождения из уравнений (16), (17) операторов $\hat{\zeta}$ и $\hat{\boldsymbol{\pi}}$ получаем выражение для $\hat{f}_{\mathbf{R}}$:

$$\hat{f}_{\mathbf{R}} = \frac{1}{2} n_{\mathbf{R}} + \frac{1}{2} \mathbf{s}_{\mathbf{R}} \cdot \hat{\boldsymbol{\sigma}}, \quad (18)$$

$$n_{\mathbf{R}} = 2F + F' \left[\sum_{\mathbf{p}} F' \right]^{-1} \left[N - N_0 + \frac{1}{v_E^2} \mathbf{v} \cdot \mathbf{I} \right], \quad (19)$$

$$\mathbf{s}_{\mathbf{R}} = F' \left[\sum_{\mathbf{p}} F' \right]^{-1} \left[\mathbf{S} + \frac{1}{v_E^2} \mathbf{v} \cdot \mathbf{J} \right], \quad (20)$$

где $\overline{v_E^2} = \sum_{\mathbf{p}} v_E^2 F' \left[\sum_{\mathbf{p}} F' \right]^{-1}$, \mathbf{v}_E – проекция скорости электрона на направление электрического поля. При получении соотношений (19), (20) для простоты мы считали спектр $\varepsilon_{\mathbf{p}}$ электронов изотропным. Далее мы будем считать спектр $\varepsilon_{\mathbf{p}}$ изотропным и квадратичным, введя в рассмотрение эффективную массу электронов m .

Перейдем теперь непосредственно к получению уравнений для плотностей и токов из уравнений (11), (12) для функций распределения. Просуммируем по \mathbf{p} уравнения (11) и (12), а затем просуммируем эти же уравнения после умножения их на скорость \mathbf{v} , в результате получим систему уравнений вида

$$\frac{\partial}{\partial t} N + \frac{\partial}{\partial \mathbf{r}} \cdot \mathbf{I} + \sum_{\mathbf{p}} R = 0, \quad (21)$$

$$\frac{\partial}{\partial t} \mathbf{S} + \frac{\partial}{\partial \mathbf{r}} \cdot \mathbf{J} + [\mathbf{S} \times \boldsymbol{\Omega}_{\mathbf{L}}] + \sum_{\mathbf{p}} \mathbf{R} = 0, \quad (22)$$

$$\frac{\partial}{\partial t} \mathbf{I} + \sum_{\mathbf{p}} \mathbf{v} \left(\mathbf{v} \cdot \frac{\partial}{\partial \mathbf{r}} n \right) - \frac{e}{m} \mathbf{E} N - [\boldsymbol{\Omega}_{\mathbf{C}} \times \mathbf{I}] + \frac{\mu}{m} \frac{\partial}{\partial \mathbf{r}} \otimes \mathbf{B} \cdot \mathbf{S} + \sum_{\mathbf{p}} \mathbf{v} R = 0, \quad (23)$$

$$\frac{\partial}{\partial t} \mathbf{J} + \sum_{\mathbf{p}} \mathbf{v} \otimes \left(\mathbf{v} \cdot \frac{\partial}{\partial \mathbf{r}} \mathbf{s} \right) - \frac{e}{m} \mathbf{E} \otimes \mathbf{S} - [\boldsymbol{\Omega}_{\mathbf{C}} \times \mathbf{J}] + [\mathbf{J} \times \boldsymbol{\Omega}_{\mathbf{L}}] + \frac{\mu}{m} \frac{\partial}{\partial \mathbf{r}} \otimes \mathbf{B} N + \sum_{\mathbf{p}} \mathbf{v} \otimes \mathbf{R} = 0, \quad (24)$$

где введены обозначения $\boldsymbol{\Omega}_{\mathbf{L}} = \frac{2\mu}{\hbar} \mathbf{B}$ и $\boldsymbol{\Omega}_{\mathbf{C}} = \frac{|e|\hbar}{mc} \mathbf{B}$.

Величина $\boldsymbol{\Omega}_{\mathbf{L}}$ – это Ларморовская частота, характеризующая прецессионное движение спина электронов, тогда как $\boldsymbol{\Omega}_{\mathbf{C}}$ – циклотронная частота.

та, отвечающая движению электрона по циклотронным орбитам вследствие действия на заряд электрона силы Лоренца.

Система уравнений (21)–(24) не является замкнутой, поскольку вторые слагаемые в левых частях уравнений (23) и (24) выражаются через свертку функций распределения с квадратичными комбинациями вектора скорости электрона. Чтобы замкнуть систему уравнений, мы при вычислении вышеуказанных слагаемых пренебрежем отличием функций распределения n и \mathbf{s} от функций n_R и \mathbf{s}_R , определенных уравнениями (19) и (20) соответственно. В результате получаем

$$\sum_{\mathbf{p}} \mathbf{v} \left(\mathbf{v} \cdot \frac{\partial}{\partial \mathbf{r}} n \right) = \overline{v^2} \frac{\partial}{\partial \mathbf{r}} N, \quad (25)$$

$$\begin{aligned} \sum_{\mathbf{p}} \mathbf{v} \otimes \left(\mathbf{v} \cdot \frac{\partial}{\partial \mathbf{r}} \mathbf{s} \right) + \frac{\mu}{m} \frac{\partial}{\partial \mathbf{r}} \otimes \mathbf{B} N = \\ = \overline{v^2} \frac{\partial}{\partial \mathbf{r}} \otimes (\mathbf{S} - \mathbf{S}_L) + \frac{\mu}{m} (N - N_0) \frac{\partial}{\partial \mathbf{r}} \otimes \mathbf{B}. \end{aligned} \quad (26)$$

Аналогично мы поступим и при вычислении сумм по квазиимпульсам от интегралов столкновений R и \mathbf{R} .

ИНТЕГРАЛ СТОЛКНОВЕНИЙ

Дальнейшее рассмотрение требует конкретизации вида интегралов столкновений R и \mathbf{R} . Можно показать, что описывающий релаксацию интеграл столкновений \hat{R} может быть записан в следующем виде:

$$\begin{aligned} \hat{R} = \frac{i}{\hbar} \left\{ \langle \hat{T}_{pp}^+ (\epsilon_p) \rangle \delta \hat{f}_p - \delta \hat{f}_p \langle \hat{T}_{pp}^- (\epsilon_p) \rangle \right\} - \\ - \frac{2\pi}{\hbar} \sum_{\mathbf{p}'} \langle \hat{T}_{pp'}^+ (\epsilon_p) \delta \hat{f}_p \hat{T}_{p'p}^- (\epsilon_p) \rangle \delta(\epsilon_p - \epsilon_{p'}), \end{aligned} \quad (27)$$

где $\delta \hat{f}_p \equiv \delta \hat{f}(\mathbf{r}, \mathbf{p}, t)$, $\hat{T}_{pp'}^{\pm}(E)$ – матричные элементы оператора амплитуды рассеяния, который определяется рассеивающим потенциалом \hat{V} и находится как решение уравнения Липпмана–Швингера

$$\hat{T}^{\pm}(E) = \hat{V} + \hat{V} (E - \hat{H}_0 \pm i0)^{-1} \hat{T}^{\pm}(E). \quad (28)$$

Первое слагаемое в (27), выражающееся через $\delta \hat{f}_p$, – это так называемый “уходный” член интеграла столкновений, описывающий уход электронов из состояния \mathbf{p} во все возможные состояния при рассеянии на потенциале \hat{V} . Второе слагаемое в (27), выражающееся через сумму по \mathbf{p}' от слагаемых, содержащих $\delta \hat{f}_{p'}$, – это так называемый “приходный” член интеграла столкновений, описывающий приход электронов в состояние \mathbf{p} из всех других состояний \mathbf{p}' .

Мы ограничимся здесь рассмотрением случая, когда рассеиватели электронов, формирующие потенциал \hat{V} и определяющие вид оператора амплитуды рассеяния \hat{T} , не обладают собственным спином. Некоторые важные данные о структуре оператора \hat{T} можно получить путем анализа свойств симметрии взаимодействия \hat{V} , поскольку амплитуду рассеяния можно представить в виде матричного элемента оператора рассеяния, а свойства симметрии оператора \hat{T} совпадают со свойствами симметрии гамильтониана системы. Гамильтониан рассматриваемой системы предполагаем инвариантным относительно произвольных поворотов и пространственной инверсии. Следовательно, и оператор амплитуды рассеяния должен быть инвариантен относительно этих преобразований. Опираясь на эти фундаментальные свойства оператора \hat{T} , найдем его общий вид. Поскольку \hat{T} является оператором в пространстве спиновых функций, его всегда можно представить в виде линейной комбинации матриц Паули $\hat{\mathbf{c}}$ и единичного оператора:

$$\hat{T} = A + \mathbf{C} \cdot \hat{\mathbf{c}}. \quad (29)$$

В разложении (29) величины A и \mathbf{C} являются комплексно-значными функциями квазиимпульсов \mathbf{p} и \mathbf{p}' . Оператор амплитуды рассеяния \hat{T} будет инвариантом произвольного поворота и инверсии только в том случае, если A будет скаляром, а величина \mathbf{C} – некоторым псевдовектором.

Введем в рассмотрение три единичных вектора:

$$\mathbf{c} = \frac{\mathbf{p} \times \mathbf{p}'}{|\mathbf{p} \times \mathbf{p}'|}, \quad \mathbf{c}_+ = \frac{\mathbf{p} + \mathbf{p}'}{|\mathbf{p} + \mathbf{p}'|}, \quad \mathbf{c}_- = \frac{\mathbf{p} - \mathbf{p}'}{|\mathbf{p} - \mathbf{p}'|}. \quad (30)$$

Векторы \mathbf{c} , \mathbf{c}_+ , \mathbf{c}_- попарно ортогональны, а поэтому могут быть взяты в качестве базиса трехмерного пространства. Тогда вектор \mathbf{C} можно представить в виде разложения $\mathbf{C} = C\mathbf{c} + C_+\mathbf{c}_+ + C_-\mathbf{c}_-$, где C , C_+ , C_- – некоторые скалярные или псевдоскалярные функции \mathbf{p} и \mathbf{p}' . При инверсии векторы \mathbf{p} и \mathbf{p}' изменяют знак, а поэтому изменяют знак также векторы \mathbf{c}_+ и \mathbf{c}_- . Поэтому из инвариантности оператора \hat{T} относительно пространственной инверсии следует, что $C_+ = 0$, $C_- = 0$, а зависящие от \mathbf{p} и \mathbf{p}' величины A и \mathbf{C} – скаляры. Эти функции зависят от \mathbf{p} и \mathbf{p}' только через скалярные комбинации $\mathbf{p} \cdot \mathbf{p}$, $\mathbf{p}' \cdot \mathbf{p}'$ и $\mathbf{p} \cdot \mathbf{p}'$, т.е. являются функциями энергии и угла рассеяния – угла между \mathbf{p} и \mathbf{p}' . Таким образом, оператор амплитуды рассеяния имеет следующий общий вид:

$$\hat{T} = A + C(\mathbf{c} \cdot \hat{\mathbf{c}}), \quad (31)$$

где \mathbf{c} – единичный вектор нормали к плоскости рассеяния, определяемый первым из выражений (30).

Можно показать, что определяющие оператор \hat{T} величины A и C связаны следующим соотношением, которое известно как “оптическая теорема”:

$$-\frac{2}{\hbar} \text{Im} A_{\mathbf{p}\mathbf{p}'} = \frac{2\pi}{\hbar} \sum_{\mathbf{p}'} \left(|A_{\mathbf{p}\mathbf{p}'}|^2 + |C_{\mathbf{p}\mathbf{p}'}|^2 \right) \delta(\epsilon_{\mathbf{p}} - \epsilon_{\mathbf{p}'}). \quad (32)$$

С использованием определения (27) для оператора интеграла столкновений \hat{R} , уравнений (31) и (32), интегралы столкновений $R = \text{Tr} \hat{R}$ и $\mathbf{R} = \text{Tr} \hat{\sigma} \hat{R}$ можно представить в виде:

$$R = \sum_{\mathbf{p}'} \left\{ \left(W_{\mathbf{p}\mathbf{p}'}^{(\text{nsf})} + W_{\mathbf{p}\mathbf{p}'}^{(\text{sf})} \right) (\delta n_{\mathbf{p}} - \delta n_{\mathbf{p}'}) - 2 \text{Re} W_{\mathbf{p}\mathbf{p}'}^{(\text{as})} (\mathbf{c} \cdot \delta \mathbf{s}_{\mathbf{p}'}) \right\}; \quad (33)$$

$$\begin{aligned} \mathbf{R} = \sum_{\mathbf{p}'} \left\{ \left(W_{\mathbf{p}\mathbf{p}'}^{(\text{nsf})} + W_{\mathbf{p}\mathbf{p}'}^{(\text{sf})} \right) (\delta \mathbf{s}_{\mathbf{p}} - \delta \mathbf{s}_{\mathbf{p}'}) + \right. \\ \left. + 2 W_{\mathbf{p}\mathbf{p}'}^{(\text{sf})} (\delta \mathbf{s}_{\mathbf{p}'} - \mathbf{c} (\mathbf{c} \cdot \delta \mathbf{s}_{\mathbf{p}'})) - 2 \text{Re} W_{\mathbf{p}\mathbf{p}'}^{(\text{as})} (\mathbf{c} \cdot \delta n_{\mathbf{p}'}) - \right. \\ \left. - 2 \text{Im} W_{\mathbf{p}\mathbf{p}'}^{(\text{as})} [\mathbf{c} \times \delta \mathbf{s}_{\mathbf{p}'}] \right\}. \quad (34) \end{aligned}$$

При записи интегралов столкновений (33), (34) мы для краткости использовали обозначения $\delta n_{\mathbf{p}}$ и $\delta \mathbf{s}_{\mathbf{p}}$ для функций $\delta n(\mathbf{r}, \mathbf{p}, t)$ и $\delta \mathbf{s}(\mathbf{r}, \mathbf{p}, t)$ соответственно, а также ввели следующие величины:

$$W_{\mathbf{p}\mathbf{p}'}^{(\text{nsf})} = \frac{2\pi}{\hbar} \left\langle |A_{\mathbf{p}\mathbf{p}'}|^2 \right\rangle \delta(\epsilon_{\mathbf{p}} - \epsilon_{\mathbf{p}'}), \quad (35)$$

$$W_{\mathbf{p}\mathbf{p}'}^{(\text{sf})} = \frac{2\pi}{\hbar} \left\langle |C_{\mathbf{p}\mathbf{p}'}|^2 \right\rangle \delta(\epsilon_{\mathbf{p}} - \epsilon_{\mathbf{p}'}), \quad (36)$$

$$W_{\mathbf{p}\mathbf{p}'}^{(\text{as})} = \frac{2\pi}{\hbar} \left\langle A_{\mathbf{p}\mathbf{p}'} C_{\mathbf{p}\mathbf{p}'}^* \right\rangle \delta(\epsilon_{\mathbf{p}} - \epsilon_{\mathbf{p}'}). \quad (37)$$

Величина $W_{\mathbf{p}\mathbf{p}'}^{(\text{nsf})}$ имеет смысл дифференциальной вероятности рассеяния электрона без изменения спинового состояния (non spin-flip) из состояния с квазиимпульсом \mathbf{p}' в состояние с квазиимпульсом \mathbf{p} за единицу времени, тогда как $W_{\mathbf{p}\mathbf{p}'}^{(\text{sf})}$ – это дифференциальная вероятность рассеяния с переворотом спина (spin-flip) за единицу времени.

Величина $W_{\mathbf{p}\mathbf{p}'}^{(\text{as})}$ характеризует асимметричное, так называемое “косое” (askew) спиновое рассеяние, является комплексно-значной функцией квазиимпульсов электрона до и после рассеяния и поэтому не имеет простого смысла вероятности какого-либо процесса. Суммируя дифференциальную вероятность $W_{\mathbf{p}\mathbf{p}'}^{(\text{sf})}$ рассеяния электрона из состояния с квазиимпульсом \mathbf{p}' в состояние с ква-

зиимпульсом \mathbf{p} за единицу времени с переворотом спина по всем возможным состояниям электрона \mathbf{p} после рассеяния, получаем интегральную вероятность рассеяния из состояния с квазиимпульсом \mathbf{p}' за единицу времени с переворотом спина

$$w_{\mathbf{p}'}^{(\text{sf})} = \sum_{\mathbf{p}} W_{\mathbf{p}\mathbf{p}'}^{(\text{sf})}. \quad (38)$$

Интегральную вероятность изменения орбитального состояния электрона с квазиимпульсом \mathbf{p}' , от величины которой будут зависеть транспортные характеристики электронной системы, определим как

$$w_{\mathbf{p}'}^{(\text{tr})} = \sum_{\mathbf{p}} \left[W_{\mathbf{p}\mathbf{p}'}^{(\text{nsf})} + W_{\mathbf{p}\mathbf{p}'}^{(\text{sf})} \right] [1 - \cos(\mathbf{p}, \mathbf{p}')]. \quad (39)$$

Интегральная вероятность процессов “косого” спинового рассеяния из состояния \mathbf{p}' характеризуется величиной

$$w_{\mathbf{p}'}^{(\text{as})} = \sum_{\mathbf{p}} \frac{pp'}{|\mathbf{p} \times \mathbf{p}'|} \text{Re} W_{\mathbf{p}\mathbf{p}'}^{(\text{as})}. \quad (40)$$

БАЗОВЫЕ УРАВНЕНИЯ ДВИЖЕНИЯ ДЛЯ ПЛОТНОСТЕЙ И ПОТОКОВ

Подставим (33), (34) в уравнения (21)–(24), с использованием соотношений (25), (26) и определений (35)–(40), после выполнения всех суммирований получим искомую систему уравнений для плотностей и потоков:

$$\frac{\partial}{\partial t} N + \frac{\partial}{\partial \mathbf{r}} \cdot \mathbf{I} = 0; \quad (41)$$

$$\frac{\partial}{\partial t} \mathbf{S} + \frac{\partial}{\partial \mathbf{r}} \cdot \mathbf{J} + [\mathbf{S} \times \boldsymbol{\Omega}_L] + \frac{1}{\tau_s} \delta \mathbf{S} = 0; \quad (42)$$

$$\begin{aligned} \frac{\partial}{\partial t} \mathbf{I} + \overline{v_E^2} \frac{\partial}{\partial \mathbf{r}} \delta N - \frac{e}{m} \mathbf{E} N - [\boldsymbol{\Omega}_C \times \mathbf{I}] + \\ + \frac{\mu}{m} \frac{\partial}{\partial \mathbf{r}} \otimes \mathbf{B} \cdot \mathbf{S} + \frac{1}{\tau_o} \mathbf{I} + \frac{1}{\tau_{so}} \mathbf{e} \cdot \mathbf{J} = 0; \end{aligned} \quad (43)$$

$$\begin{aligned} \frac{\partial}{\partial t} \mathbf{J} + \overline{v_E^2} \frac{\partial}{\partial \mathbf{r}} \otimes \delta \mathbf{S} - \frac{e}{m} \mathbf{E} \otimes \mathbf{S} - [\boldsymbol{\Omega}_C \times \mathbf{J}] + \\ + [\mathbf{J} \times \boldsymbol{\Omega}_L] + \frac{\mu}{m} \frac{\partial}{\partial \mathbf{r}} \otimes \mathbf{B} \delta N + \frac{1}{\tau_o} \mathbf{J} + \frac{1}{\tau_{so}} \mathbf{e} \cdot \mathbf{I} = 0. \end{aligned} \quad (44)$$

Здесь введены следующие величины, характеризующие скорость различных процессов релаксации:

– скорость релаксации спина $1/\tau_s$ (как характеристика процессов рассеяния с переворотом спина)

$$\frac{1}{\tau_s} = 2 \overline{w_{\mathbf{p}}^{(\text{sf})}}; \quad (45)$$

– скорость релаксации импульса $1/\tau_0$ (как характеристика влияния рассеяния на изменение орбитального движения электронов, определяющее их транспортные свойства):

$$\frac{1}{\tau_0} = \frac{\overline{v^2 w_p^{(tr)}}}{v^2}; \quad (46)$$

– скорость релаксации, обусловленной “ко-вым” рассеянием электронов $1/\tau_{so}$ (как характеристика интенсивности асимметричного спин-орбитального рассеяния)

$$\frac{1}{\tau_{so}} = \frac{2}{3} \frac{\overline{v^2 w_p^{(as)}}}{v^2}. \quad (47)$$

В определениях (45)–(47) чертой над функцией обозначена операция ее усреднения по \mathbf{p} с весом F : $\overline{(\dots)} = \frac{\sum_{\mathbf{p}} (\dots) F'}{\sum_{\mathbf{p}} F'}$, а величина \mathbf{e} в уравнениях (43), (44) есть абсолютно антисимметричный единичный тензор 3-го ранга.

Легко видеть, что уравнение (41) не что иное, как уравнение непрерывности для потока электронов. Наличие в левой части этого уравнения двух членов отражает выполнение закона сохранения числа частиц: скорость изменения плотности частиц в данной точке равна с обратным знаком дивергенции вектора плотности потока частиц в этой точке.

Уравнение (42) – известное уравнение движения для спиновой плотности, которое также можно рассматривать как уравнение непрерывности для спинового тока, однако в этом уравнении заложена возможность диссипации спина, которая описывается последним членом в левой части уравнения. Скорость спиновой релаксации электронов проводимости $1/\tau_s$ и, соответственно, время спиновой релаксации τ_s определяются, как можно видеть из уравнений (45) и (36), процессами рассеяния с переворотом спина. Третий член в левой части (42) описывает прецессионное движение электронов с частотой Ω_L . Второй член отвечает за локальное изменение спиновой плотности, обусловленное переносом спина, который имеет место при протекании спинового тока \mathbf{J} из одной области пространства с фиксированной спиновой плотностью в другую область, имеющую иную по величине или направлению спиновую плотность. В силу малости времени релаксации квазиимпульса τ_0 по сравнению с временем спиновой релаксации τ_s , описанное выше движение спина электрона можно описывать как диффузионный процесс. При этом коэффициент спиновой диффузии определяется как $D = \overline{v^2} \tau_0$.

Уравнение (43) – уравнение для нахождения вектора плотности потока электронов или связанного с ним вектора плотности электрического тока $\mathbf{j} = e\mathbf{I}(\mathbf{r}, t)$ при заданных полях \mathbf{E} и \mathbf{B} . Второй член в левой части описывает диффузионную компоненту потока частиц, величина которой определяется коэффициентом диффузии $D = \overline{v^2} \tau_0$. Третий член описывает ток проводимости, индуцируемый полем \mathbf{E} , величина которого определяется удельной электропроводностью металла $\sigma = Ne^2 \tau_0 / m$. Четвертый описывает изменение плотности электрического тока из-за действия силы Лоренца, заставляющей электроны двигаться по циклотронным орбитам с частотой Ω_C и приводящей к появлению эффекта Холла. Пятое слагаемое учитывает изменение проводимости металла из-за зависимости действующего в металле магнитного поля от координат. Именно этот вклад определяет новые эффекты в проводимости неоднородно-намагниченных проводников. Шестое слагаемое описывает скорость изменения орбитального состояния электронов, определяемую транспортным временем релаксации импульса τ_0 . Наконец, последнее слагаемое в левой части уравнения (43) отвечает за учет асимметричного спинового рассеяния электронов, интенсивность которого задается временем релаксации τ_{so} . Это слагаемое, как и последний член в левой части уравнения (44), описывает специфические особенности физического явления, получившего название “спиновый эффект Холла”.

Уравнение (44) – уравнение для нахождения тензора спинового тока \mathbf{J} . Второй член в левой части (44) описывает диффузионную компоненту потока спина, величина которой определяется коэффициентом диффузии спина $D = \overline{v^2} \tau_0$. Третий член описывает эффекты дрейфа спиновой плотности под действием электрического поля. Четвертое слагаемое, векторное произведение вектора Ω_C и тензора спинового тока \mathbf{J} , описывает влияние силы Лоренца, аналогично четвертому члену уравнения (43). Пятый член, векторное произведение тензора спинового тока \mathbf{J} и вектора Ω_L , описывает спиновую прецессию движущихся электронов. Шестое слагаемое описывает влияние неоднородностей магнитного поля на спиновый транспорт, а седьмое учитывает затухание спинового тока со скоростью релаксации импульса $1/\tau_0$. Последний член в левой части (44), как уже отмечалось, отражает существование спинового эффекта Холла.

СПИНОВЫЙ ТРАНСПОРТ В КИРАЛЬНЫХ ГЕЛИМАГНЕТИКАХ

Для иллюстрации влияния неоднородного магнитного поля на спиновый транспорт применим полученные уравнения для описания транспортных свойств киральных гелимагнетиков. Интерес к спиновому транспорту в киральных гелимагнетиках обусловлен возможностью использования их уникальных свойств при создании магнитокиральных наноструктур для применений в спинтронике [14–16].

Пусть ось простой магнитной спирали гелимагнетика и электрическое поле \mathbf{E} направлены вдоль оси OZ : $\mathbf{E} = E_z \mathbf{e}_z$. Помимо внешнего магнитного поля на электронные спины действует эффективное магнитное поле обменного происхождения $\mathbf{H}^{(ex)}$. Для геликоидального магнетика со спиновым упорядочением типа “простая спираль” поле $\mathbf{H}^{(ex)}$ может быть представлено в виде $\mathbf{H}^{(ex)}(z) = H^{(ex)} \mathbf{h}(z)$, где $H^{(ex)}$ – величина обменного поля, $\mathbf{h}(z)$ – единичный вектор, характеризующий направление $\mathbf{H}^{(ex)}(z)$ в плоскости xy в точке z . Введем в рассмотрение вектор производной вектора $\mathbf{H}^{(ex)}(z)$ по координате z , $\mathbf{H}^{(ex)'}(z) \equiv (d/dz)\mathbf{H}^{(ex)}(z)$, и единичный вектор $\mathbf{h}'(z) = \mathbf{H}^{(ex)'}(z) / |\mathbf{H}^{(ex)'}(z)|$, задающий направление вектора $\mathbf{H}^{(ex)'}(z)$. Полагая, что компоненты вектора $\mathbf{h}(z)$ изменяются по гармоническому закону, $h_x(z) \sim \cos qz$, $h_y(z) \sim \sin qz$, где \mathbf{q} – волновой вектор магнитной спирали, получаем, что единичные вектора $\mathbf{h}(z)$ и $\mathbf{h}'(z)$ взаимно ортогональны в каждой точке z . Направление “закручивания” спирали однозначно определяется вектором $\mathbf{k} = [\mathbf{h} \times \mathbf{h}']$, который мы будем называть вектором киральности магнитной спирали.

Для наглядности изложения при записи системы уравнений (41)–(44) применительно к гелимагнетикам мы будем полагать, что внешнее магнитное поле отсутствует, полагая $\mathbf{\Omega}_C = 0$, и будем рассматривать стационарный перенос заряда и спина в условиях электрической нейтральности системы, полагая $\delta N = 0$. Кроме того, пренебрежем эффектами “косого” спин-орбитального рассеяния, опуская все члены, содержащие $1/\tau_{SO}$.

Решение уравнения (43) для потока \mathbf{I} в этом случае можно записать в явном виде

$$\mathbf{I} = \frac{N_0 e \tau_0}{m} \mathbf{E} - \frac{\mu \tau_0}{m} \left(\frac{\partial}{\partial z} \mathbf{H}^{(ex)} \cdot \delta \mathbf{S} \right) \mathbf{e}_z. \quad (48)$$

Из выражения (48) следует, что неоднородное магнитное поле изменяет поток электронов, причем изменение определяется скалярным произведением вектора $\frac{\partial}{\partial z} \mathbf{H}^{(ex)}$ и вектора неравновесной спиновой плотности $\delta \mathbf{S}$. Представим $\delta \mathbf{S}$ в виде суммы продольной δS_{\parallel} и поперечной δS_{\perp} (по отношению к оси спирали) компонент: $\delta \mathbf{S} = \delta S_{\parallel} + \delta S_{\perp}$. С учетом того, что вектор $\frac{\partial}{\partial z} \mathbf{H}^{(ex)}$ перпендикулярен вектору оси \mathbf{e}_z , получаем, что изменение потока электронов в (48) определяется только поперечной компонентой неравновесной спиновой плотности δS_{\perp} .

Из уравнений (42)–(44) получаем следующую связь продольной δS_{\parallel} и поперечной δS_{\perp} компонент:

$$\delta S_{\parallel} = -\Omega_L \tau_s [\delta S_{\perp} \times \mathbf{h}]. \quad (49)$$

Среди введенных ранее векторов поляризации спинового тока \mathbf{P}_i в рассматриваемом случае оказывается отличным от нуля только вектор \mathbf{P}_z , удовлетворяющий уравнению

$$\mathbf{P}_z + \tau_0 [\mathbf{P}_z \times \mathbf{\Omega}_L] = -D \frac{\partial}{\partial z} \delta S_{\perp} + \frac{e \tau_0}{m} \mathbf{S} E_z. \quad (50)$$

В линейном по электрическому полю приближении в формуле (50) можно пренебречь отличием спиновой плотности \mathbf{S} от ее локально-равновесного значения \mathbf{S}_L . Тогда получаем, что $\mathbf{P}_z \perp \mathbf{e}_z$, $\mathbf{P}_z \parallel \mathbf{\Omega}_L$. Учет нелинейных членов в (50) приводит к появлению у вектора поляризации \mathbf{P}_z компоненты, направленной вдоль оси геликоиды.

С использованием соотношений (49), (50), из уравнения (42) получаем следующее уравнение для поперечной компоненты спиновой плотности:

$$-\tau_s [[\delta S_{\perp} \times \mathbf{\Omega}_L] \times \mathbf{\Omega}_L] - D \frac{\partial^2}{\partial z^2} \delta S_{\perp} + \frac{1}{\tau_s} \delta S_{\perp} = -\frac{e \tau_0}{m} E_z \frac{\partial}{\partial z} \mathbf{S}_L. \quad (51)$$

Уравнение движения (51) для геликоиды, характеризующейся волновым вектором \mathbf{q} , с учетом того обстоятельства, что вектора δS_{\perp} и $\mathbf{\Omega}_L$ взаимно перпендикулярны, может быть записано в виде

$$\frac{1}{\tau_G} \delta S_{\perp} = -\frac{e \tau_0}{m} E_z \frac{\partial}{\partial z} \mathbf{S}_L, \quad (52)$$

где введено эффективное время спиновой релаксации в гелимагнетике τ_G , определяемое соотношением

$$\frac{1}{\tau_G} = \frac{1}{\tau_S} + \frac{1}{\tau_L} + \frac{1}{\tau_D}. \quad (53)$$

Эффективная скорость спиновой релаксации в гелимагнетике τ_G^{-1} есть сумма трех составляющих: τ_S^{-1} , τ_L^{-1} и τ_D^{-1} .

Вклад τ_S^{-1} – это скорость спин-решеточной релаксации, обусловленной диссипацией неравновесного спина электронов проводимости на дефектах решетки, которая может быть рассчитана по формуле (45).

Составляющая эффективной скорости релаксации τ_L^{-1} определяется как

$$\frac{1}{\tau_L} = \Omega_L^2 \tau_S. \quad (54)$$

Физической причиной появления такого вклада является ларморовская прецессия спина электрона в условиях, когда ось прецессионного движения меняет свое направление при движении электрона по орбите вдоль оси геликоида. Этот механизм спиновой релаксации электронов проводимости в гелимагнетиках естественно называть прецессионным.

Вклад τ_D^{-1} , определяемый как

$$\frac{1}{\tau_D} = Dq^2, \quad (55)$$

описывает скорость изменения спиновой плотности в данной точке пространства из-за диффузионного “ухода” спинов электронов из данной точки в процессе протекания спинового тока. Следует заметить, что спиновая диффузия в проводящем гелимагнетике – это не процесс “перетекания” спина из области пространства, где концентрация электронов с заданной проекцией спина велика, в область, где таких электронов меньше. В гелимагнетике значения вектора неравновесной спиновой плотности в соседних точках оси геликоида отличаются только по направлению и поэтому диффузия в данном случае обеспечивает релаксацию спина электронов исключительно “по направлению”. С учетом того, что коэффициент диффузии прямо пропорционален времени релаксации импульса τ_0 , $D = \overline{v_E^2} \tau_0$, частота “диффузионной” составляющей скорости спиновой релаксации также пропорциональна τ_0 : $\tau_D^{-1} = \Omega_q^2 \tau_0$, где $\Omega_q^2 = q^2 \overline{v_E^2}$. Представление диффузионного

вклада в эффективную частоту спиновой релаксации в виде соотношения $\tau_D^{-1} = \Omega_D^2 \tau_0$ по форме зависимости от времени релаксации импульса τ_0 совпадает с известным выражением для скорости спиновой релаксации электронов в полупроводниках, предложенным Дьяконовым и Перелем.

Соотношение между величинами τ_D^{-1} и τ_S^{-1} определяется отношением характерного линейного размера неоднородности поля q^{-1} и спин-диффузионной длины $L_S = \sqrt{D\tau_S}$. Для длиннопериодных неоднородностей $qL_S \ll 1$ и диффузионным механизмом спиновой релаксации можно пренебречь. Для короткопериодных неоднородностей $qL_S \gg 1$ и скорость релаксации спиновой плотности определяется в основном диффузионным механизмом.

Легко видеть, что приведенные выше рассуждения о дополнительных механизмах спиновой релаксации – “прецессионном” и “диффузионном” – применимы не только к периодическим магнитно-неоднородным системам типа геликоидальных магнетиков. Для непериодических магнитоупорядоченных систем частота Ω_L будет определяться среднеквадратичной величиной флуктуаций обменного поля в магнетике, а волновое число q будет иметь смысл характерного обратного линейного размера этих флуктуаций.

Решение уравнения (51) с учетом определения (53) дает результат:

$$\delta S_t = \chi \tau_0 \tau_G \frac{e}{m\mu} q H^{(ex)} E_z \mathbf{h}; \quad (56)$$

$$\delta S_l = \chi \tau_0 \tau_S \tau_G \frac{2e}{\hbar m} q [H^{(ex)}]^2 E_z \mathbf{k}, \quad (57)$$

где χ – восприимчивость Паули электронного газа.

Из выражений (56), (57) немедленно следует, что отношение абсолютных значений δS_l и δS_t зависит только от значения параметра $\Omega_L \tau_S$:

$$\frac{\delta S_l}{\delta S_t} = \Omega_L \tau_S. \quad (58)$$

Если обменное поле $H^{(ex)}$ невелико и $\Omega_L \tau_S \ll 1$, то параллельная оси геликоида неравновесная компонента спиновой плотности мала. В противном случае сильных обменных полей, когда $\Omega_L \tau_S \gg 1$, неравновесная спиновая плотность практически параллельна оси геликоида.

Отдельного обсуждения заслуживает вопрос о направлении вектора продольной поляризации δS_l . Из выражения (57) следует, что вектор δS_l коллинеарен вектору киральности \mathbf{k} . Записывая вектор киральности в виде $\mathbf{k} = K \mathbf{e}_z$, получаем, что

для правозакрученной магнитной спирали с киральностью $K = 1$ коллинеарные векторы спиновой плотности $\delta\mathbf{S}_1$ и плотности потока электронов \mathbf{I} являются сонаправленными, $\delta\mathbf{S}_1 \uparrow\uparrow \mathbf{I}$. Этот вывод справедлив и для пары векторов неравновесной плотности намагниченности электронов $\delta\mathbf{m}_1$ и плотности электрического тока \mathbf{j} . Соответственно, для левозакрученной магнитной спирали с киральностью $K = -1$ коллинеарные векторы спиновой плотности $\delta\mathbf{S}_1$ и плотности потока электронов \mathbf{I} являются противоположно направленными, $\delta\mathbf{S}_1 \uparrow\downarrow \mathbf{I}$, как и векторы $\delta\mathbf{m}_1$ и \mathbf{j} .

Из уравнения (48) следует, что плотность электрического тока $\mathbf{j} = e\mathbf{I}$, индуцируемого в гелимагнетике вдоль его оси электрическим полем \mathbf{E} , записывается как

$$\mathbf{j} = (\sigma_0 - \delta\sigma)\mathbf{E}, \quad (59)$$

где $\sigma_0 = N_0 e^2 \tau_0 / m$ – проводимость Друде электронного газа, а добавка $(-\delta\sigma)$ к проводимости, обусловленная спиральной структурой обменных полей в гелимагнетике, определяется выражением

$$\frac{\delta\sigma}{\sigma_0} = \frac{9}{4} \left(\frac{\mu H^{(ex)}}{\epsilon_F} \right)^2 \frac{\tau_G}{\tau_D}. \quad (60)$$

Таким образом, согласно (60), величина эффектов неоднородности магнитного состояния гелимагнетиков определяется двумя факторами. Во-первых, это величина отношения обменной энергии $\mu H^{(ex)}$ к энергии Ферми ϵ_F . Именно этот фактор, зависящий только от электронной и магнитной структуры гелимагнетика, ограничивает относительную величину изменения электропроводности сверху. Во-вторых, на величину изменения электропроводности будут влиять транспортные свойства материала. Этот фактор в формуле (60) записан как отношение τ_G / τ_D . Это отношение при любом соотношении вкладов различных механизмов спиновой релаксации всегда меньше единицы и достигает максимального единичного значения в условиях, когда диффузионный механизм релаксации является определяющим. Оставаясь в пределах применимости базовых уравнений (41)–(44), мы должны считать параметр $\mu H^{(ex)} / \epsilon_F$ малым по сравнению с единицей и, следовательно, численное значение величины $\delta\sigma / \sigma_0$, определяемой формулой (60), может быть оценено сверху именно значением этого малого параметра. В случае сильных обменных полей, когда $\mu H^{(ex)} / \epsilon_F \leq 1$, формула (60) может дать оценку лишь по порядку величины.

ЗАКЛЮЧЕНИЕ

Полученная система уравнений (41)–(44) описывает весь круг гальваномагнитных явлений в металлах и полупроводниках, обусловленных наличием электрического заряда и спинового момента у электронов проводимости, включая как известные эффекты – магнитосопротивление, эффект Холла и спиновый эффект Холла, так и не описанные ранее эффекты, обусловленные неоднородностями внешнего магнитного поля и внутренних полей обменного происхождения. Неоднородности действующего на электрон в металле эффективного магнитного поля приводят как к изменению величины электрического тока, индуцированного электрическим полем, так и к существенному изменению картины протекания спиновых токов в рассматриваемой геометрии эксперимента.

Полученные уравнения движения применены для описания электронного спинового транспорта в киральных гелимагнетиках. Показано, что направление индуцируемой электрическим полем неравновесной спиновой плотности определяется киральностью гелимагнетика. Предсказано существование в киральных магнетиках двух дополнительных механизмов спиновой релаксации: диффузионного и прецессионного. Рассчитано уменьшение электропроводности гелимагнетика, обусловленное действием геликоидальных обменных полей.

Работа выполнена в рамках государственного задания по теме “Спин” АААА-А18-118020290104-2, проект № 32-1.1.3.5, при поддержке РФФИ, проект № 19-02-00057.

СПИСОК ЛИТЕРАТУРЫ

1. *Kaganov M.I., Peshansky V.G.* Galvano-magnetic phenomena today and forty years ago // *Physics Reports*. 2002. V. 372. P. 445–487.
2. *Hall E.H.* On a new action of the magnet on electric currents // *American J. Mathematics*. 1879. V. 2. P. 287–292.
3. *Дьяконов М.И., Перель М.И.* О возможности ориентации электронных спинов током // *Письма в ЖЭТФ*. 1971. Т. 13. С. 657–660.
4. *Dyakonov M.I., Perel V.I.* Current-induced spin orientation of electrons in semiconductors // *Phys. Letters A*. 1971. V. 35. № 6. P. 459–460.
5. *Кравченко В.Я., Цой В.С.* Спиновый эффект Холла в немагнитных проводниках в условиях классического эффекта Холла // *Письма в ЖЭТФ*. 2007. Т. 86. № 8. С. 621–624.
6. *Dyakonov M.I.* Magnetoresistance due to Edge Spin Accumulation. *Phys. Rev. Lett.* 2007. V. 99. P. 126601(1–4).
7. *Gerlach W., Stern O.* Der experimentelle Nachweis der Richtungsquantelung // *Zeitschrift für Physik*. 1922. V. 9. P. 349–352.

8. *Maekawa S., Valenzuela S.O., Saitoh E., Kimura T.* (ed.) Spin Current. Oxford University Press. 2017. 464 p.
9. *Dyakonov M.I.* (ed.) Spin Physics in Semiconductors. Springer Series in Solid-State Sciences. 2017. V. 157. 532 p.
10. *Силин В.П.* Кинетика парамагнитных явлений // ЖЭТФ. 1956. Т. 30. № 2. С. 421–422.
11. *Азбель М.Я., Герасименко В.И., Лифшиц И.М.* Парамагнитный резонанс и поляризация ядер в металлах // ЖЭТФ. 1957. Т. 32. № 5. Р. 1212–1225.
12. *Окулов В.В., Устинов В.В.* Поверхностная релаксация магнитного момента и граничное условие для спиновой функции распределения электронов проводимости в металле // ФММ. 1977. Т. 44. № 1. С. 43–55.
13. *Устинов В.В.* Граничные условия к кинетическим уравнениям и уравнениям движения намагниченности электронов проводимости металла с поверхностными парамагнитными примесями // Теоретическая и математическая физика. 1980. Т. 44. № 3. С. 587–399.
14. *Антропов Н.О., Кравцов Е.А., Проглядо В.В., Рябухина М.В., Устинов В.В.* Кристаллическая структура и магнитные свойства сверхрешеток Dy/Gd // ФММ. 2017. Т. 118. С. 1283–1290.
15. *Миляев М.А., Наумова Л.И., Устинов В.В.* Обменно-связанные сверхрешетки с рекордным магнитосопротивлением // Физика металлов и металловедение. 2018. Т. 119. С. 1224–1228.
16. *Антропов Н.О., Кравцов Е.А., Хайдуков Ю.Н., Рябухина М.В., Проглядо В.В., Вешке О., Устинов В.В.* Когерентная всерная магнитная структура в сверхрешетках Dy/Gd // Письма в ЖЭТФ. 2018. Т. 108. С. 361–366.